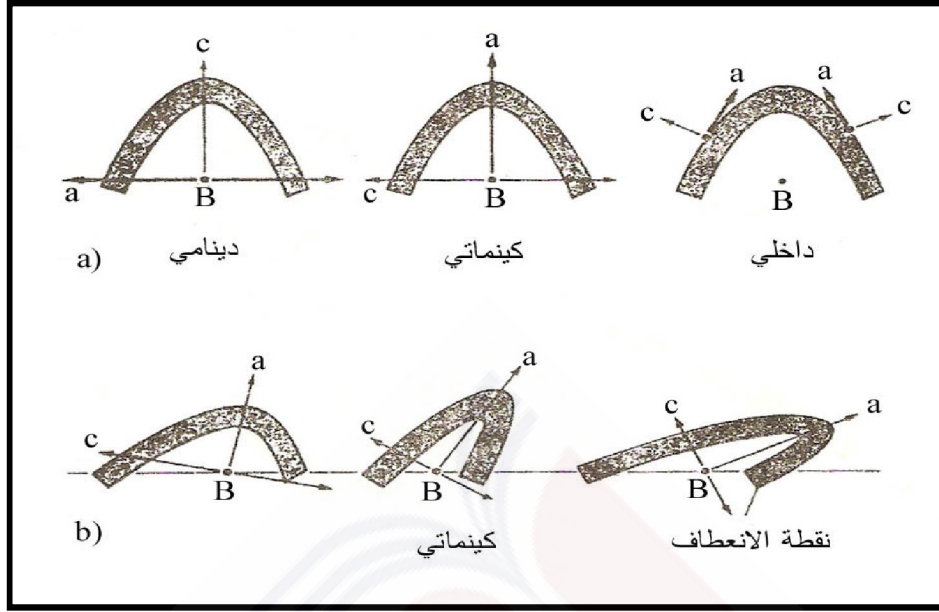


# المحاضرة الخامسة

من الصفحة 50 - 66





شكل (3 - 12) الوضعيات الممكنة لجمل الإحداثيات التكتونية

### 3 - 7 - تصنيف الطي *fold classifications*

صُنّف الطي وفقاً لعدة طرائق، مهدت إلى ترتيب الطي باستخدام بعض خصائصه، لكن لا يوجد تصنيف يأخذ بالاعتبار جميع مظاهر الطي والطيّات. تحاول بعض التصنيفات تقسيم الطيات من وجهة نظر الوصف التام، والبعض يحدد ويصنف الطي وفقاً لآلية التشكل. برهن بعض الجيولوجيين أن التصنيف الأفضل يوافق شرحاً أقل وفاعلية أكثر. وفيما يلي بعض هذه التصنيفات المتبعة.

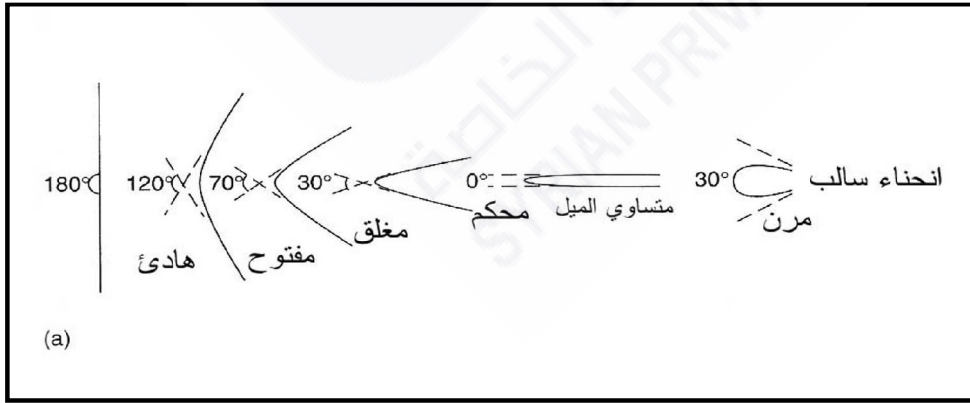
### 3 - 7 - 1 - التصنيف على أساس زاوية الطي ونطاق

المفصلة:

#### *Classifications based on interlimb angle and hinge area*

يعتمد هذا التصنيف على تحديد الزاوية المحصورة بين جناحي الطية (الشكل 3 - 13) وتقاس الزاوية المتشكلة بين نقاط الانعطاف على الأجنحة المتعاكسة للطبقة نفسها. وقد قسم هذا التصنيف وفقاً لما يلي:

1. هادئة Gentle بزاوية ما بين  $120^\circ - 180^\circ$ ,
2. مفتوحة Open بزاوية ما بين  $70^\circ - 120^\circ$ .
3. مغلقة closed بزاوية من  $30^\circ - 70^\circ$ .
4. محكمة tight من  $0^\circ - 30^\circ$ .
5. متساوية الميل  $0^\circ$  isoclinal.
6. مرنة elastic حيث تكون الزاوية بقيمة سالبة، وتعد القيم المرنة نادرة في طبيعة الصخور، لكن يمكن أن تحدث في الطي اللدن الشديد للمواد الضعيفة ضمن العروق.



شكل (3 - 13 - a) التصنيف على أساس زاوية الطي وفئاته.

### 3 - 7 - 1 - 1: تصنيف Ramsay:

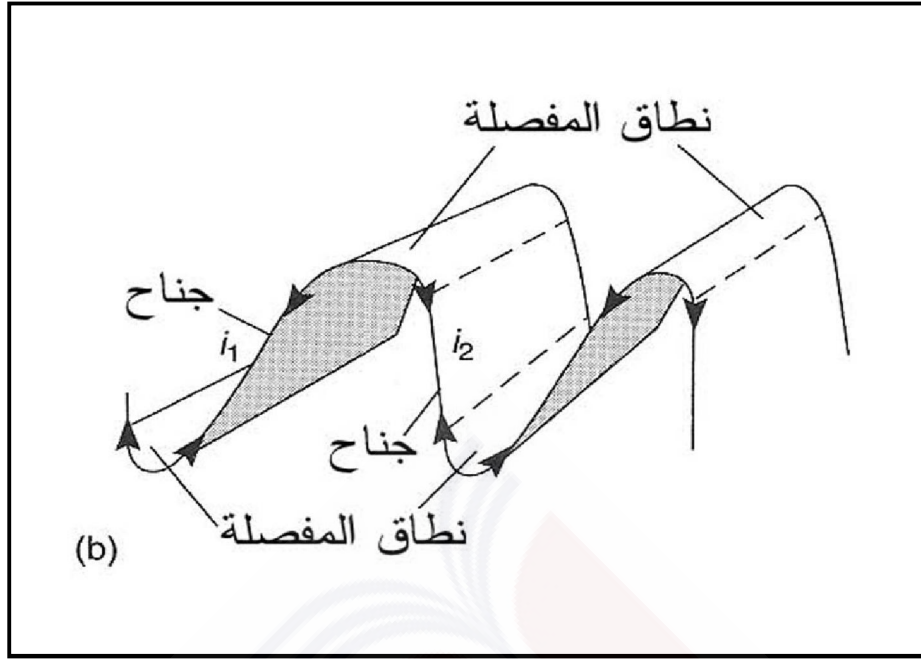
أشار (1967) John Ramsay إلى أن قياس الزاوية ما بين الجناحين كدلالة على إحكام الطي، لا يعتمد فقط على قيمة الزاوية، لكن على انتشار الانحناء حول جناحي الطية وغلقتها. وعلى هذا الأساس فإن وصف الطي وتصنيفه يكون مناسباً لمعظم أنواع الطي مع الأخذ بالحسبان العلاقة ما بين امتداد نطاق الغلق بالمقارنة مع امتداد جناحي الطي، يرتبط أحد تصنيفات Ramsay بالتغير في نطاق الغلق أو طول مجال الغلق والزاوية البينية وقد وصف معادلة شكل الطية متضمنة متغيراً  $P_1$  (Parameter) (الشكل 3 - 13 - b) بالعلاقة

$$P_1 = \frac{L_1 i_1^2}{H_1 i_1^2} \quad (1 - 3)$$

حيث  $L_1 i_1^2 =$  طول إسقاط جناحي الطي المرتبط مع  $L_1$ ،  $i_1$  و  $H_1 i_1^2 =$  طول نطاق المفصلة، وتعد  $i_1$  ،  $i_2$  نقاط الانعطاف على الجناحين المتجاورين لنفس الطية ونطاق المفصلة حيث يكون التقوس الأعظمي.

تعد علاقة  $P_1$  — Ramsay فاعلة في الوصف الكمي للطيات حيث تكون الزاوية البينية والغلق هامين.

أتاح Ramsay إمكانية القياس على الطية وحساب التغير  $P_1$  وترتيبه بدون أي تفسير وبهذا يمكن لأي شخص يعرف القليل عن الجيولوجيا البنيوية أو عن طبيعة الطي أن يستخدم هذا التصنيف إذا استطاع أو استطاعت تحقيق القياسات المطلوبة وتقسيم أحدهما على الآخر.



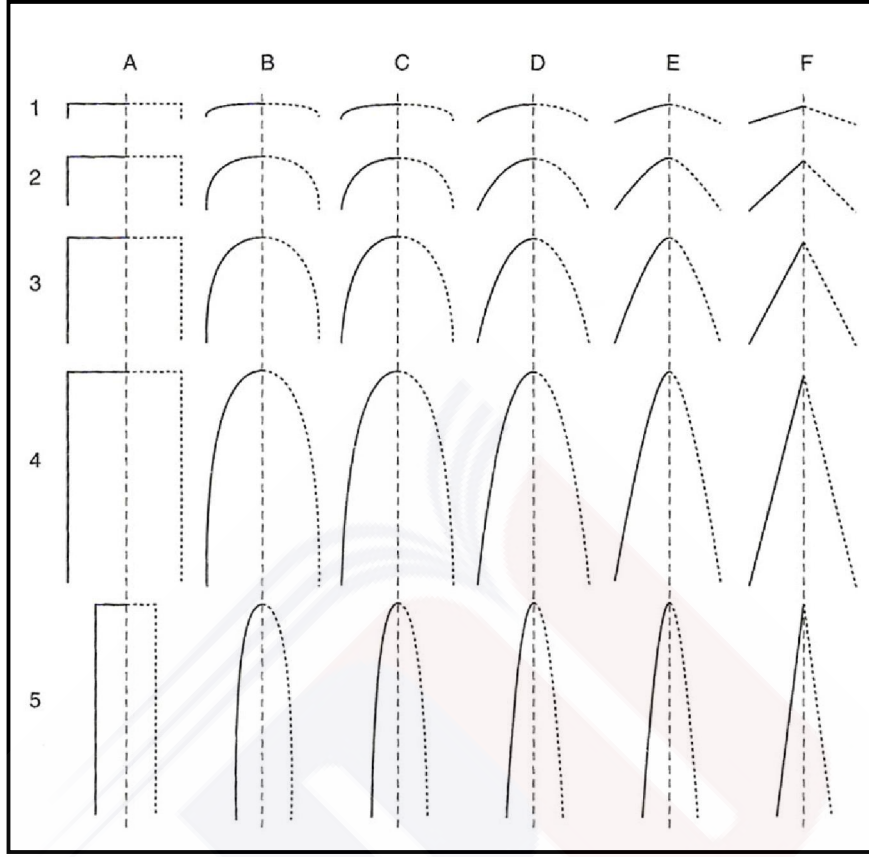
شكل (3 - 13 - b) توضيح للبارامترات المقاسة وفقاً لمعادلة Ramsay.

### 3 - 7 - 1 - 2: تصنيف William and Champan:

استنبط (William (1979) و Champan (1979) تصنيفاً للطبي، مستخدمين دياغراماً منتهياً بثلاثة عناصر (المستويات P، متساوي الميل الأسطواني Q، متساوي الميل القببي R)، (الشكل 3 - 6 - b). وضع هذا التصنيف على قياسات لكل من الزاوية البينية وزاوية المفصلة. يسمح هذا التصنيف بإدخال طيف من التغيرات بين نهايات ثلاثة عناصر.

### 3 - 7 - 1 - 3: تصنيف Hudeston:

ابتكر (Hudeston 1973) تصنيفاً بسيطاً على أساس الافتراض أنه يمكن بالملاحظة تحديد أشكال الطبي الرئيسية، وتخمين سعتها (شكل 3 - 14). دعي مخططه هذا بالتحليل الهارموني الملاحظ. متضمناً تحديداً لطية معطاة على أساس شكل A إلى F، وسعة من رقم 1 - 5، وقد نصح بأنه يفترض حمل هذا المخطط إلى الحقل بغية المقارنة المباشرة مع طبيعة الطبي في الصخور.



شكل (3 - 14) تصنيف هيوستون لـ 30 طية نسبة السعة إلى طول الموجة  
F - A ونطاق المفصلة إلى طول الموجة (1 - 5)

3 - 8: معيار تصنيف رمزي:

### *Ramsay's standard classification:*

– يعد التصنيف الهندسي والوصفي المتداول بين الكثير من الجيولوجيين، والذي وضع على مقطع عمودي على مفصلة الطية، ابتكاراً آخر لجون رمزي. فقد مكنت القياسات العديدة من تصنيف الطي، دون انحياز الملاحظ حتى إلى أي تمهيد في ميكانيك الطي.

– يتضمن معيار تصنيف رمزي علاقة غير مباشرة بين سماكتي الطبقة:

1 – العمودي على التطبيق ( $\tau_a$ ).

2 – الموازي للسطح المحوري ( $\tau_{\alpha}$ )، وزاوية الميل  $\alpha$  في نقاط مختلفة من السطوح المحورية للطبي المتتابع (الشكل 3 – 15).

وترتبط هذه المتغيرات بالعلاقة:

$$(2 - 3) \quad \tau_{\alpha'} = T_{\alpha} \cos \alpha$$

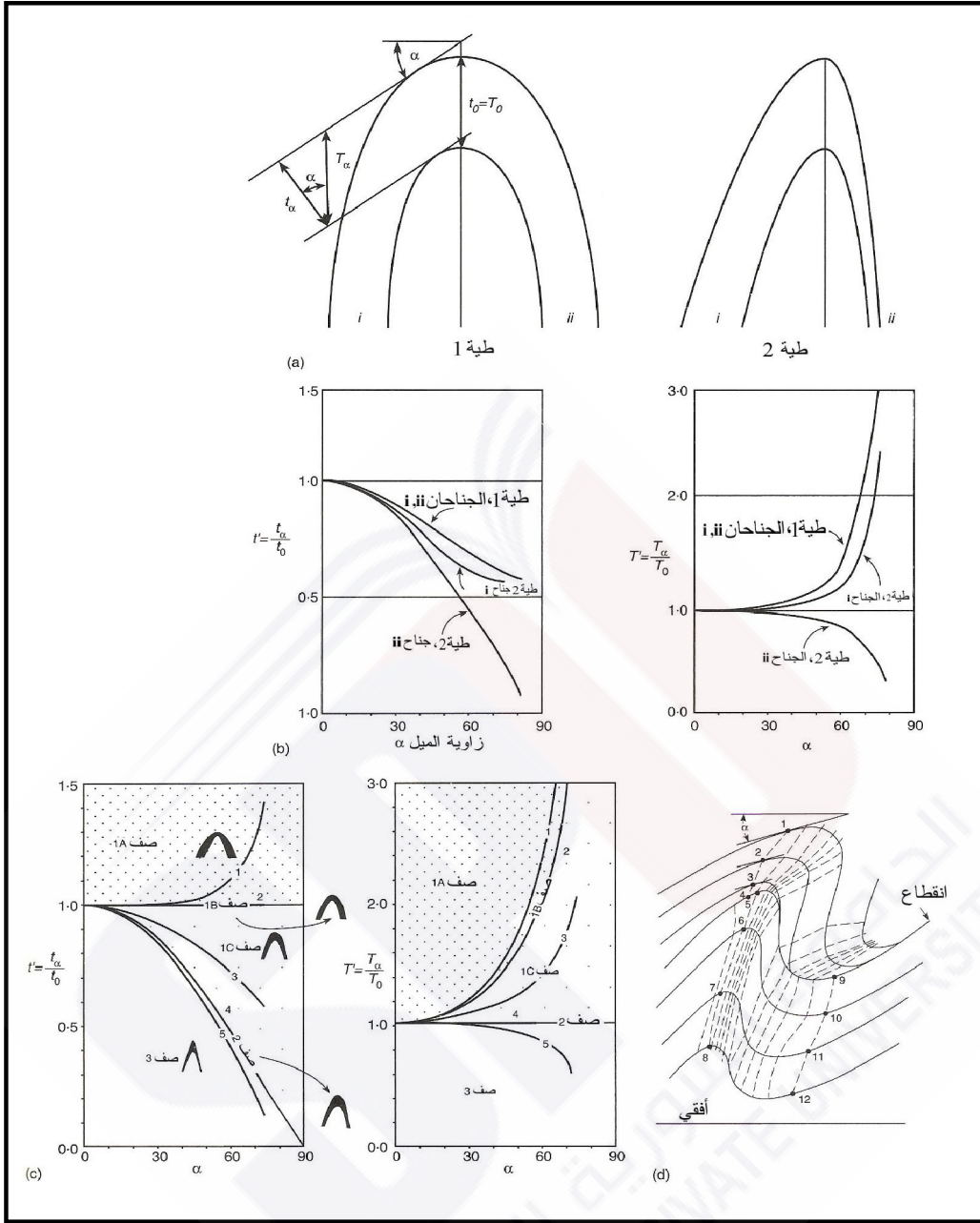
وفي مفصلة الطية تكون السماكة  $t_0 = T_0$  وتكون النسبة

$$(3 - 3) \quad t'_{\alpha} = \frac{T_{\alpha}}{t_0} \quad \text{أو} \quad T'_{\alpha} = \frac{T_{\alpha}}{t_0}$$

ويمكن الحساب بالتالي، وإجراء الإسقاط مقابل زاوية الميل  $\alpha$ . تعبر المعادلة (3 – 3) عن تغير السماكتين ( $T_{\alpha}$  أو  $t_{\alpha}$ ) مع تغير في الميل.

### 3 – 9: خطوط تساوي الميل *Dip isogon Lines*:

هي خطوط تصل بين نقاط متساوية الانحدار أو الميل، ويمكن أن تصل بين طبقات متتابعة، وقد أنشئت وفقاً لتقنية رمزي بفواصل  $10^{\circ}$  في الطبقات المتعاقبة للطية (الشكل 3 – 15 - a)، (الشكل 3 – 15 - d).



شكل (3 – 15) تصنيف Ramsay

- a – طيتان (1 و 2) يظهران الاشتقاق  $t_\alpha$  و  $T_\alpha$ .
- b – اسقاط  $t'_\alpha$  و  $T'_\alpha$  للطيتين.
- c – يظهر اسقاط  $t'_\alpha$  و  $T_\alpha$  حقول صفوف الطيات في الشكل (3 – 16).
- d – إنشاء خطوط تساوي الميل، النقاط من 1 – 12 لها نفس الميل.



تعد علاقات التقارب – التباعد – أو التوازي لخطوط تساوي الميل، المفتاح الرئيس لتصنيف رمزي. وترتبط درجة التقارب لخطوط تساوي الميل مباشرة مع درجة إحكام الطي، وقد تم تصنيف ذلك في ثلاثة صفوف:

1 – الصف الأول: تتقارب فيه خطوط تساوي الميل باتجاه الجزء المقوس من الطية.

2 – الصف الثاني: يرتبط بالطي الذي تتوازي فيه خطوط تساوي الميل.

3 – الصف الثالث: ويتعلق بالطي الذي تتباعد فيه خطوط تساوي الميل باتجاه الجزء المقوس من الطية.

كما يخضع الصف الأول إلى تحت تقسيم لثلاث مجموعات (الشكل 3 – 16).

المجموعة 1A: تتضمن طيات ذات خطوط تساوي ميل متقاربة بشدة ووضوح.

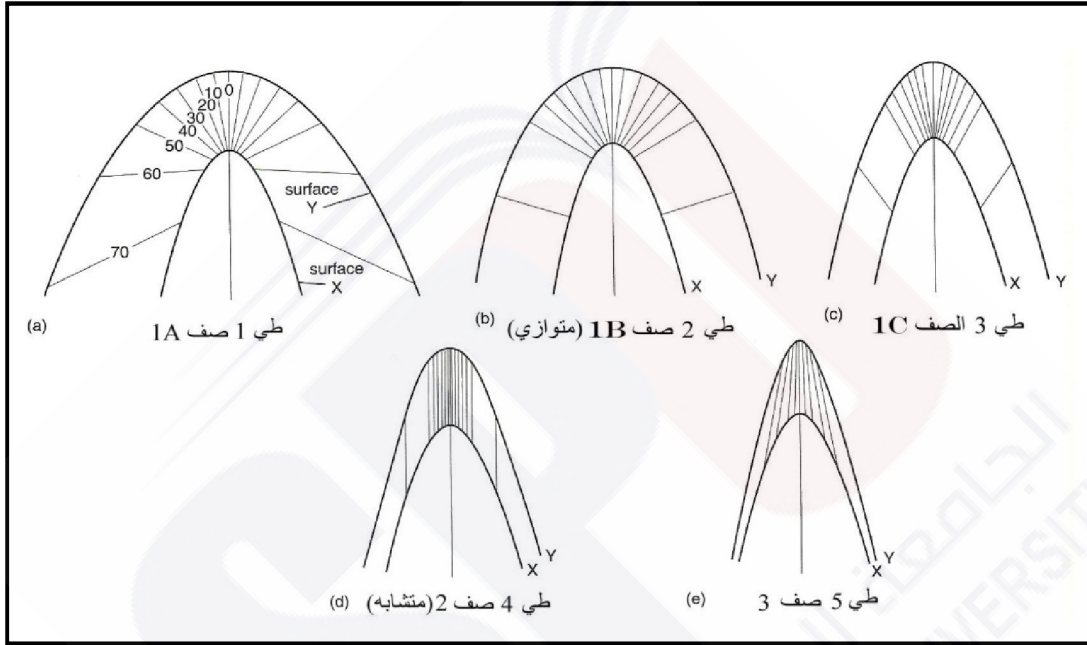
المجموعة 1B: تتعلق بطيات متوازية – متمركزة مع خطوط تساوي ميل متقاربة.

المجموعة 1C: تتغير فيها الطيات بين المتشابهة والمتوازية مع خطوط تساوي ميل متقاربة بشكل طفيف.

الصف الثاني: ويتضمن طيات متشابهة مثالية مع خطوط تساوي ميل متوازية.

الصف الثالث: ويتميز الطي فيه بازدياد سماكات المفصلة إلى حد بعيد وترقق سماكات الأجنحة بالمقابل.

يحظى تصنيف رمزي بميزات جليّة على المستوى الوصفي والهدف الموضوع. وقد أشار إلى أن الطيات المتشابهة تقع ضمن الصف الثاني والطيات المتوازية في المجموعة 1B وقد عزي رمزي ذلك إلى خاصية عملية الطي نفسها.



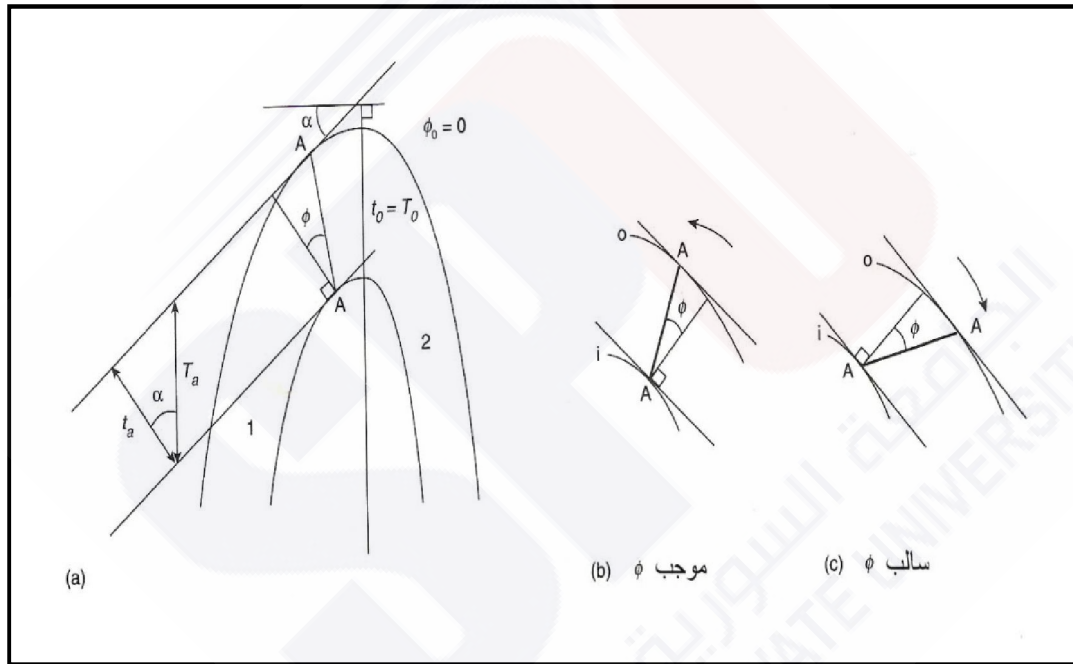
شكل (3 - 16) صفوف طي Ramsay

- a - تغير اتجاه خطوط تساوي الميل بشكل أسرع، مقارنة بسطوح التطبق المرتبطة بها.
- b - تغير اتجاه خطوط تساوي الميل بنفس النسبة، مع سطوح التطبق المرتبطة بها.
- c - تغير اتجاه خطوط تساوي الميل بشكل أبطأ، مقارنة مع سطوح التطبق المرتبطة بها.
- d - تكون خطوط تساوي الميل متوازية.
- e - تغير اتجاه خطوط تساوي الميل، بشكل معاكس للسطوح المرتبطة بها.

### 3 - 10 - تعديل بيتر هيو دليستون:

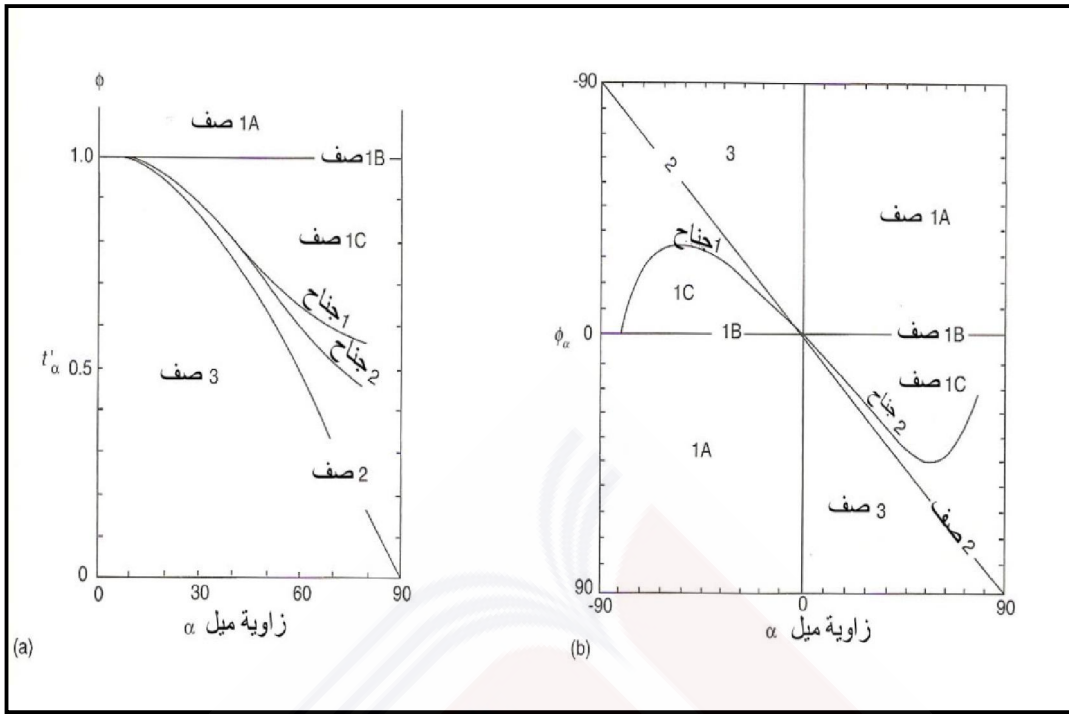
#### *Peter Hudleston Modified*

عدّل بيتر هيو دليستون (1973) مخطط رمزي بتحديد قياس كمي آخر  $\phi_\alpha$  وتوحيده مع خطوط تساوي الميل، فقد حدد لطبقة مطوية قيمة  $\phi_\alpha$  كزاوية بين الشاقول والمماسات المرسومة على سطح طية، وفي أي زاوية ميل ظاهري  $\alpha$  وخطوط تساوي ميل (الشكل 3 - 17).



شكل (3 - 17)

- a - اشتقاق البارامترات  $t_\alpha T_\alpha$  و  $\phi_\alpha$ . خط تساوي الميل بزاوية  $\alpha$ .
- b و c - رمز اصطلاحي لـ  $\phi$ . i - قوس داخلي، o قوس خارجي. خط تساوي الميل.



شكل (3 - 18)

a - توضع لـ  $t'_\alpha$  مقابل الميل  $\alpha$ .

b -  $\phi_\alpha$  مقابل  $\alpha$  للطية في الشكل (3 - 17 a). توضح الحقول التي

تتوضع فيها صفوف Ramsay.

قد يكون مقدار  $\phi_\alpha$  موجباً أو سالباً، يعتمد في ذلك على انحراف خطوط تساوي الميل فيكون (سالباً) باتجاه عقارب الساعة أو موجباً بعكس اتجاه عقارب الساعة. ويرتبط بالعلاقة ما بين الشاقول ومماسات السطوح المطوية كأثر ملحوظ لخطوط تساوي الميل من القوس الداخلي للطية إلى القوس الخارجي.

أسقطت الطية في (الشكل 3 - 17 a) على (الشكل 3 - 18 b)

كقيمة  $\phi_\alpha$  مقابل  $\alpha$ . نلاحظ في (الشكل 3 - 18 a) إسقاط لـ  $t_\alpha$  مقابل  $\alpha$  لنفس

الطية وذلك لإيضاح معيار تصنيف رمزي في حين سمح تعديل هيوولستون

لمخطط رمزي بتحديد كل صف لحقل واضح بإسقاط  $\phi_\alpha$  مقابل  $\alpha$  (شكل 3 - 18 b).

يلخص (الجدول 3 – 1) العلاقات بين صفوف رمزي وتلك المتغيرات.

الجدول (3 – 1)

صف	$t'_\alpha$	$\phi_\alpha$
1A	$> 1.0$	$< 0$
1B (متوازي)	$1.0$	$0$
1C (متشابه)	$\cos \alpha < t'_\alpha < 1.0$	$\alpha > \phi_\alpha > 0$
2	$\cos \alpha$	$\alpha$
3	$< \cos \alpha$	$> \alpha$

أسقطت القيم  $\phi_\alpha$  لـ  $\alpha$  الموجبة.

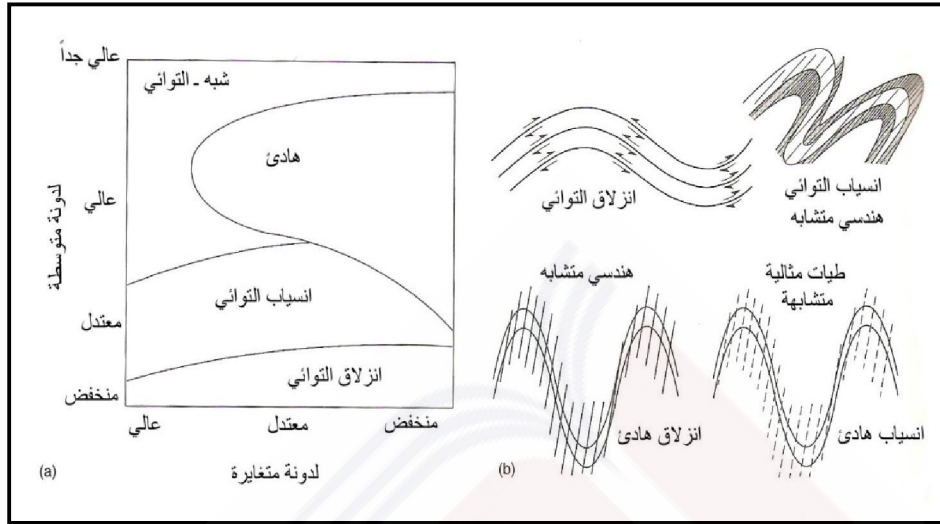
### 3 – 11 – تصنيف دوناث وباركر:

#### ***Donath and Parker classification:***

تعد تقنية التصنيف الأقدم المختلفة وفقاً لـ أحد أهم استنتاجات (فرد دوناث وباركر 1964) اللذين وضعوا مخططاً منشئياً – ميكانيكياً على أساس لدونة متوسطة ولدونة متغايرة خلال الطي المتعاقب (شكل 3 – 19).

وقد اقتنع بذلك معظم الجيولوجيين، خصوصاً فيما يتعلق بمناقشة خصائص الطي وتصنيفه. الذي نأخذه بالاعتبار هنا، لأن ذلك يزودنا بخيار آخر يمكن استخدامه في الحقل.

وضعت مجموعتان رئيسيتان للطّي، وفقاً لـ دونات وباركر.



شكل (3 - 19)

a - أساس تصنيف دونات وباركر. b - أنماط ميكانيزم الطّي لـ دونات وباركر.

1 - الطيات الالتوائية (Flexural folds): يتحكم تطبق الصخور في هذا النوع بشكل الطّي.

2 - الطيات الهادئة (Passive folds): يفيد تطبق الصخور كدلالة إزاحة فقط، أثناء الطّي.

تخضع المجموعة الثانية في هذا التصنيف إلى تحت تقسيم النوعين من الطّي، وفقاً للسلوك التكسري والسلوك اللدن.

يسبب الانزلاق (slip) على طول التطبق (bedding)، الانفصام (cleavage) أو مستويات التورق (foliation) في تشكيل الطّي التكسري. في حين تسيطر عمليات التدفق اللدن في الطيات الهادئة.



تقع فئة أخرى من الطيات بين تحت التقسيمين، تدعى (شبه الالتوائي quasi-flexural) وتتوافق مع طيات غير متوافقة (شكل 3 – 20).



شكل (3 – 20) طيات انسياب التوائية غير متوافقة،

في الشيل وطبقات رقيقة من الحجر الكلسي. الأردوفيسي الأدنى – نيويورك (Hatcher).

### – الطيات الالتوائية – الانزلاقية Flexural – slip folds:

تتوافق في الشكل والمظهر مع الطيات المتوازية أو الطيات المتمركزة – المتوازية (شكل 3 – 21). ويتشكل هذا الطي بالتجمع من خلال دفع إحدى نهايات الطبقات أو كعمليات انثناء وانزلاق موازي للتطبيق.



شكل (3 - 21)

طيات انزلاق التوائي في حجر كلسي وحجر رملي - الأردوفيسي

الأوسط - تينيسا (Hatcher)

تكون هذه الطيات - على العموم - غير محكمة الإغلاق، ما عدا تلك الواقعة في صخور ضعيفة أو صخور متغايرة في تركيبها كثيراً (لدنة). تلاحظ الطيات الالتوائية - الانزلاقية بوضوح من خلال التحزرات أو أية علائم حركة كخطوط الانزلاق على سطوح الطبقات وفي سماكات الطبقة المستمرة.



## – الطيات الدرجية Chevron folds:

تحدث بواسطة التجعد buckling وهي عبارة عن طيات يقتصر تقوسها على مفاصل ضيقة وأجنحة مستقيمة (الشكل 3 ، 22).



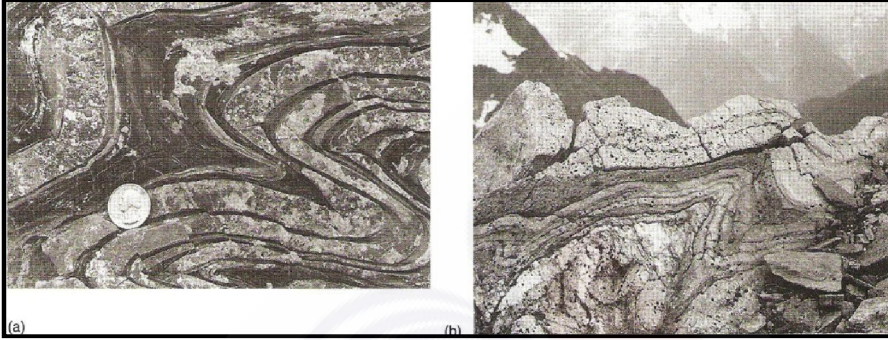
شكل (3 – 22) طيات درجية في الحجر الرملي والشيل – مراکش (hatcher)

تكون قيم الحرارة والضغط التي تشكل هذا النوع من الطي منخفضة. ويمكن لمثل بعض هذه الطيات أن تتراكم على طيات سابقة ذات الصخور متحولة بدرجة عالية، وذلك بعد أن تكون تلك الصخور قد تبردت وتناقص الضغط المطبق.

– الطيات الانزلاقية الهادئة Passive – slip folds: هي نوع من الطيات المتشابهة، تشكلت بعمليات القص على طول مستويات مائلة على التطبيق (الشكل 3 – 19 – b) وهذا النوع من الطي لا يتشكل بالقص التام.

– الطيات الالتوائية – السيلانية Flexural – flow folds: تتشكل في صخور بدرجات تحول منخفضة إلى متوسطة وفقاً لطبيعة الصخر، وهي

بمعظمها قريبة من الطيات المتشابهة، لكن يمكن أن تتضمن بعض الطيات المتوازية (الشكل 3 – 23).



(الشكل: 3 – 23)

a – طيات انسياب التوائي في تشكيلة شيل وحجر كلسي، التلة البيضاء – نيويورك. طبقات الشيل الضعيفة (السوداء) تُخنت وترققت بالانسياب. كما تغيرت طبقات الحجر الكلسي الأقسى بسماكاتهما بشكل أقل في الأجنحة القصيرة والمفاصل. حيث تعد إلى التكرس في الأجنحة الطويلة للطيات، تكون طبقات الحجر الكلسي سميكة وهي أيضاً طيات غير متوافقة شبه التوائية.

b – طيات انسياب التوائي – الكامبري الأسفل لمجموعة كوارتزيت وشيست. كولومبيا البريطانية. خضعت طبقات الشيست السوداء لتغير في سماكاتهما بشكل أكبر من طبقات الكوارتزيت البيضاء. (hatcher)

تحافظ بعض الطبقات في طيات الالتواء السيلاني على سماكات ثابتة، في حين بعضها الآخر تزداد ثخانتها في النطاقات المحورية وتترقق في الأجنحة، مشيرة بذلك إلى اختلاف كبير في اللدونة الداخلية.